

Міністерство освіти і науки України
Сумський державний університет
Факультет технічних систем та енергоефективних технологій
Кафедра технічної теплофізики

КВАЛІФІКАЦІЙНА РОБОТА
здобувача за першим (бакалаврським) рівнем
вищої освіти зі спеціальності
142 «Енергетичне машинобудування» на тему:
"Теплонасосна установка
на базі рідинно-парового ежектора з робочим
середовищем R718 для системи опалення"

ПОЯСНЮВАЛЬНА ЗАПИСКА

Здобувач	Д. О. Сніаренко
Група	ХК-61
Керівник роботи	С. О. Шарапов

Суми 2020

ЗМІСТ

с.

Вступ	3
1 Розрахунок теплового навантаження приміщення	7
2 Принципова схема опалюваного приміщення	20
3 Розрахунок параметрів циклу теплонасосної установки	24
4 Розрахунок енергоефективності циклу	27
5 Розрахунок геометричних параметрів рідинно-парового ежектора	28
6 Розрахунок і підбір апаратів	29
7 Охорона праці	39
Висновки	47
Перелік посилань	48

Змн.	Арк.	№ докум.	Підпис	Дата	ХМ 05.00.00.00 ПЗ		
Розроб.	Снісаренко						
Перевір.	Шарапов						
Реценз.							
Н. Контр.	Шарапов						
Затверд.	Ванесєв				Теплонасосна установка на базі рідинно парового ежектора з робочим середовищем R718 в системі опалення		
					Lім.	Арк.	Актуалів
						2	49
					СумДУ, ХК-61		

ВСТУП

Однією з основних проблем, що вирішується світовою спільнотою на цей час, є енергозбереження. Одночасно реалізуються дві мети – збереження невідновлюваних енергоресурсів і скорочення шкідливих викидів в атмосферу продуктів згоряння, що є, зокрема, основним фактором глобального потепління.

Одним із найважливіших напрямів вирішення зазначеної проблеми є використання енергозбережних технологій на основі використання теплових насосів [1, 2].

Теплові насоси, здійснюючи зворотний термодинамічний цикл на низькокиплячій робочій речовині, утилізують низькопотенційну теплоту природних, технологічних і побутових джерел та трансформують її на більш високий температурний рівень. До того ж первинної енергії витрачається у 1,2–2,3 рази менше ніж у разі прямого спалювання палива.

Використання теплових насосів перспективне в комбінованих схемах за умови поєднання з іншими технологіями використання поновлюваних джерел енергії – сонячної та геотермальної. Можливості та економічна доцільність застосування теплових насосів та установок залежать від кліматичних особливостей регіону, рівня розвитку паливно-енергетичного сектору, співвідношення цін на основні види палива та електроенергії та інших чинників.

Енергетична ефективність теплових насосів залежить від характеристик теплових джерел, що беруть участь у термотрансформації: від температурного рівня нагрівання середовища споживача теплового навантаження і від температури надходження утилізованого низько-потенціального середовища.

Рівень нагрівання середовища споживача теплоти залежить від цільового призначення тепlopостачання, і найкращі техніко-економічні результати зазвичай відповідають застосуванню теплонасосних систем для побутового гарячого водопостачання.

Застосування теплових насосів для опалювальних цілей ефективно лише для систем «м'якого режиму», наприклад, для повітряних або водяних систем

Змн.	Арк.	№ докум.	Підпис	Дата	Арк.	3
					XМ 05.00.00.00 ПЗ	

підлогового опалювання. Адаптація теплових насосів до характеристик водяного батарейного опалювання для регіонів країни із середньозимовою температурою нижче за 2°C пов'язана з використанням бівалентних теплонасосних установок, в яких догрівання теплоносія забезпечується традиційними теплогенерувальними пристроями.

Можливість використання в теплопостачанні потоків низькопотенційних вторинних енергоресурсів значно розширює ресурсну базу теплопостачання, робить її менше залежною від постачань паливних ресурсів. Задіявши тепловий насос, що працює на джерелах природної теплоти (атмосферне повітря, природні води), ми ніби умовно забезпечили системи теплопостачання ресурсом на 15–20 років її роботи.

Утилізація низькопотенційної теплоти у промисловому виробництві може істотно підвищити ефективність енерговикористання. Особливо це стосується технологій, пов'язаних із споживанням парових потоків, таких як: випаровування, кристалізація, ректифікація та інші. Утилізація низькопотенційної теплоти систем оборотного водопостачання підприємств дозволяє істотно понизити витрату підживлюальної води за рахунок вимикання відкритих пристрій охолоджування (градирень, басейнів), зменшується загальне енергоспоживання подібних систем за рахунок вимикання вентиляторів для градирень.

Сучасні теплові насоси використовують в якості холодаагентів переважно аміак і хладони (фреони). Термодинамічні властивості цих речовин такі, що виробництво холоду в широкому діапазоні низьких температур (від 0°C до -40°C) як правило здійснюється при тиску в системі вище атмосферного. Більше того, робота випарника теплового насоса при тисках, близьких до атмосферного, вважається позаштатним режимом, який небезпечний для установки з точки зору можливого підсосу атмосферного повітря [3].

У схемі автоматизації установки зазвичай передбачено навіть відключення компресора при зниженні тиску всмоктування до близькоатмосферного рівня. Експлуатація теплового насоса в вакуумному режимі не бажана ще й тому, що

Змн.	Арк.	№ докум.	Підпис	Дата	ХМ 05.00.00.00 ПЗ	Арк.
						4

при наявності вбудованого електродвигуна опір всмоктувального тракту в компресорі різко збільшується, ступінь стиснення підвищується, відповідно падають коефіцієнт подачі і загальна енергетична ефективність машини. Існуючі види холодаагентів при всьому різноманітті не забезпечують в повному обсязі виконання комплексу вимог, що випливають з екологічних, токсикологічних, санітарних і економічних міркувань.

Пошук альтернативних робочих речовин поширеним в недавньому минулому Хладон R12 і R22 триває в широкому колі речовин, в тому числі і серед тих, властивості яких в традиційному розумінні мало підходять до теплонасосної установки. В першу чергу мова йде про речовини низького тиску: воді, водних розчинах солей, спиртах, ефірах [4].

У холодильній техніці вода більше відома як холодоносій. Використання води в якості холодаагента автоматично призводить до робочих тисків нижче атмосферного, що і реалізовано в теплонасосних установках з пароструминними вакуумними насосами [5].

У прийнятій в холодильній техніці класифікації до робочих речовин низького тиску зазвичай відносять цілий ряд сполук, нормальна температура кипіння яких вище -10°C .

Велика частина з представлених тут речовин містить у своєму складі хлор, негативно впливають на атмосферний озон, тому нижче будуть розглянуті речовини, пружність пари яких в робочих діапазонах низьких температур знаходиться в межах 0,5–15 мм рт. ст. ($70\text{--}2000$ Па). Такий діапазон тисків на всмоктуванні забезпечує отримання температур від $+20$ до $+30^{\circ}\text{C}$ при використанні таких робочих речовин як вода, водні розчини солей, спиртів, ефірів.

Фактично, такі речовини є холодоносіями, і по робочому діапазону тисків, прийнятому в холодильній ЕП можуть вважатися речовинами з особливо низькими робочими тисками.

Змн.	Арк.	№ докум.	Підпис	Дата

Застосування води в якості холодаагенту у світовій технічній практиці відомо в пароекекторних холодильних установках. Вода має низку унікальних властивостей, в тому числі високою теплотою пароутворення r , що становить для вакуумних режимів близько $2500 \text{ кДж} / \text{кг}$, що в 10 разів вище, ніж у хладону R22.

Питома теплоємність води C_p , також висока і становить приблизно $4186 \text{ Дж} / (\text{кг} \cdot \text{К})$. Відповідно відношення C_p / r мале у порівнянні з іншими речовинами і приблизно дорівнює $1,87 \cdot 10^{-3} \text{ 1/K}$. Для етилового спирту, наприклад, цей показник дорівнює $2,373 \cdot 10^{-3} \text{ 1/K}$, для метилового близький до значення $2,1 \cdot 10^{-3} \text{ 1/K}$. З фізики процесу вакуумного охолодження випливає, що ефективність його найкраща для речовин, де відношення C_p / r менше.

Вода – дешевий і доступний холодаагент, однак має високу температуру замерзання, що обмежує область її застосування. Слід зважати і корозію металу в присутності кисню повітря. Розширення температурного діапазону речовин на основі води можливо з використанням солей, спиртів і ефірів [4].

Змн.	Арк.	№ докум.	Підпис	Дата

ХМ 05.00.00.00 ПЗ

Арк.

6

1 РОЗРАХУНОК ТЕПЛОВОГО НАВАНТАЖЕННЯ ПРИМІЩЕННЯ

Схема приміщення, що розглядається, представлена на рис. 1.1.

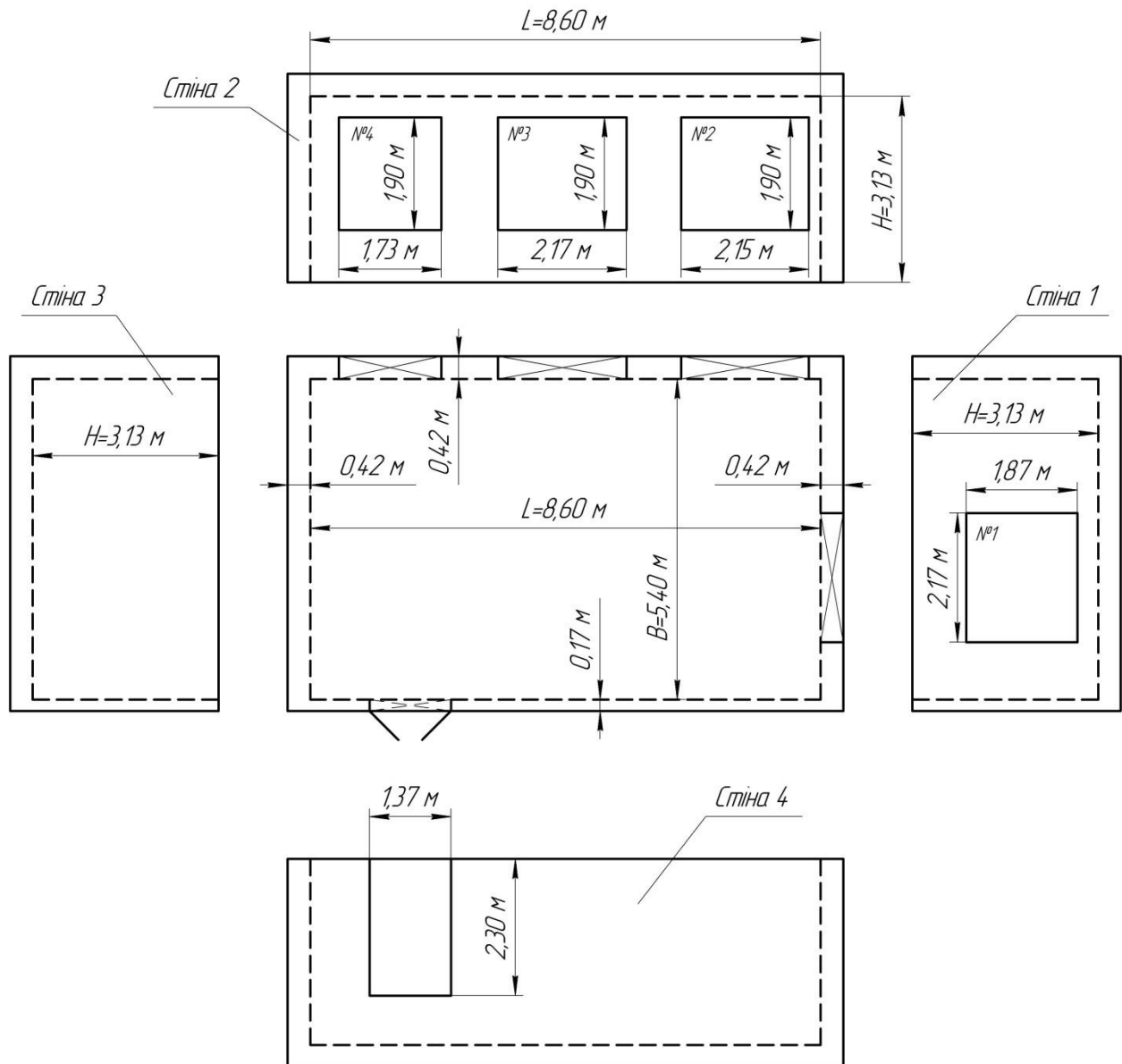


Рисунок 1.1 – Схема приміщення

Змн.	Арк.	№ докум.	Підпис	Дата

Тепловтрати через огорожувальні конструкції, кВт

$$Q_{oe} = Q_{cm} + Q_{dax} + Q_{nid} + Q_{vik} + Q_{de}, \quad (1.1)$$

де Q_{cm} – тепловтрати через стіни;

Q_{dax} – тепловтрати через дах;

Q_{nid} – тепловтрати через підлогу;

Q_{vik} – тепловтрати через вікна;

Q_{de} – тепловтрати через двері.

Розглянемо тепловтрати через стіни. Схема розрізу стіни представлена на рис. 1.2.

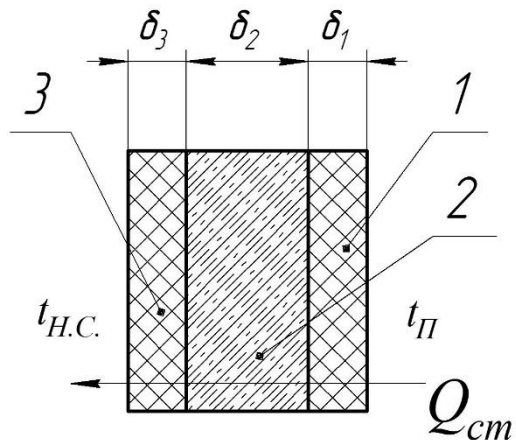


Рис. 1.2 – Розріз стіни:

1 – внутрішній шар штукатурки $\left(\lambda_1 = 0,9 \frac{Bm}{m \cdot K}, \delta_1 = 0,020 \text{ м} \right)$;

2 – цегляна кладка $\left(\lambda_2 = 0,82 \frac{Bm}{m \cdot K}, \delta_2 = 0,380 \text{ м} \right)$;

3 – зовнішній шар штукатурки $\left(\lambda_3 = 0,9 \frac{Bm}{m \cdot K}, \delta_3 = 0,020 \text{ м} \right)$;

Змн.	Арк.	№ докум.	Підпис	Дата

ХМ 05.00.00.00 ПЗ

Арк.

8

Значення коефіцієнтів теплопровідності λ вибрані згідно даних, наведених у [6, табл. 3.5, с. 9].

Отже тепловтрати через стіни, кВт

$$Q_{cm} = k_{zob.cm} \cdot \Sigma F_{cm} \cdot (t_p - t_{H.C.}), \quad (1.2)$$

$$k_{zob.cm} = \frac{1}{\frac{1}{\alpha_3} + \sum \frac{\delta}{\lambda} + \frac{1}{\alpha_{BT}}} \quad \text{де } \frac{Bm}{m^2 \cdot K},$$

тут α_3 , α_{BT} , – коефіцієнти тепловіддачі відповідно для зовнішньої та внутрішньої сторони стін. Згідно [5, табл. 3.4, с. 7]:

$$\alpha_3 = 23,2 \frac{Bm}{m^2 \cdot K} \quad \text{та} \quad \alpha_{BT} = 8,7 \frac{Bm}{m^2 \cdot K}.$$

Таким чином, коефіцієнт теплопередачі для стін

$$k_{zob.cm} = \frac{1}{\frac{1}{23,2} + \frac{0,02}{0,9} + \frac{0,38}{0,82} + \frac{0,02}{0,9} + \frac{1}{8,7}} = 1,5 \frac{Bm}{m^2 \cdot K}.$$

У даній роботі згідно рис. 1.1 зовнішніми стінами є три стіни товщиною 0,42 м. Площа стін обраховується як різниця повної площини стіни і площині вікон та дверей. Отже маємо

$$F_{zob.cm.1} = H \cdot B - F_{вікн.1} = 3,13 \cdot 5,40 - 2,17 \cdot 1,87 = 12,8 \text{ м}^2;$$

$$F_{zob.cm.2} = H \cdot L - \sum F_{вікн} = 3,13 \cdot 8,60 - (1,73 \cdot 1,90 + 2,17 \cdot 1,90 + 2,15 \cdot 1,90) = 15,4 \text{ м}^2;$$

$$F_{zob.cm.3} = H \cdot B = 3,13 \cdot 5,40 = 16,9 \text{ м}^2.$$

Змн.	Арк.	№ докум.	Підпис	Дата	ХМ 05.00.00.00 ПЗ	Арк.
						9

Розглянемо тепловтрати через внутрішню стіну.

Принципова схема розрізу внутрішньої стіни (стіна 4 на рис. 1.1) представлена на рис. 1.2 із уточненнями, а саме товщина цегляної кладки $\delta_2 = 0,120 \text{ м}$, товщина шарів штукатурки $\delta_1 = 0,030 \text{ м}$, $\delta_3 = 0,020 \text{ м}$.

Коефіцієнт тепlop передачі для внутрішньої стіни

$$k_{\text{вн.ст.4}} = \frac{1}{\frac{1}{10} + \frac{0,03}{0,9} + \frac{0,12}{0,82} + \frac{0,02}{0,9} + \frac{1}{8,7}} = 2,4 \frac{\text{Вт}}{\text{м}^2 \cdot \text{К}}$$

Площа стіни

$$F_{\text{вн.ст.4}} = H \cdot L - F_{\text{об}} = 3,13 \cdot 8,60 - 1,37 \cdot 2,30 = 23,8 \text{ м}^2$$

Загальна тепловитрата через стіни:

$$\begin{aligned} Q_{\text{ст}} &= k_{\text{зов.ст}} \cdot \sum F_{\text{ст.1,2,3}} \cdot (t_{\text{п}} - t_{\text{H.C.}}) + k_{\text{вн.ст.4}} \cdot F_{\text{вн.ст.4}} \cdot (t_{\text{п}} - t_{\text{H.C.}}) = \\ &= (20 - (-20)) \cdot (1,5 \cdot (16,9 + 15,4 + 12,8) + 2,4 \cdot 23,8) = 4,99 \text{ кВт.} \end{aligned}$$

Розглянемо тепловтрати через дах. Схема розрізу даху представлена на рис. 1.3.

Значення коефіцієнтів тепlop провідності λ вибрані згідно даних, наведених у [6, табл. 3.5, с. 9].

Тепловтрати через дах, кВт

$$Q_{\text{дах}} = k_{\text{дах}} \cdot F_{\text{дах}} \cdot (t_{\text{п}} - t_{\text{H.C.}}) = k_{\text{дах}} \cdot L \cdot B \cdot (t_{\text{п}} - t_{\text{H.C.}}), \quad (1.3)$$

Змн.	Арк.	№ докум.	Підпис	Дата

ХМ 05.00.00.00 ПЗ

Арк.

100

$$k_{\text{дах}} = \frac{1}{\frac{1}{\alpha_3} + \sum \frac{\delta}{\lambda} + \frac{1}{\alpha_{BT}}} \quad \text{де } \frac{Bm}{m^2 \cdot K} \text{ – коефіцієнт теплопередачі, } \frac{Bm}{m^2 \cdot K},$$

тут α_3 , α_{BT} , – коефіцієнти тепловіддачі відповідно для зовнішньої та внутрішньої сторони даху. Згідно [6, табл. 3.4, с. 7]:

$$\alpha_3 = 23,2 \frac{Bm}{m^2 \cdot K} \text{ та } \alpha_{BT} = 8,7 \frac{Bm}{m^2 \cdot K}.$$

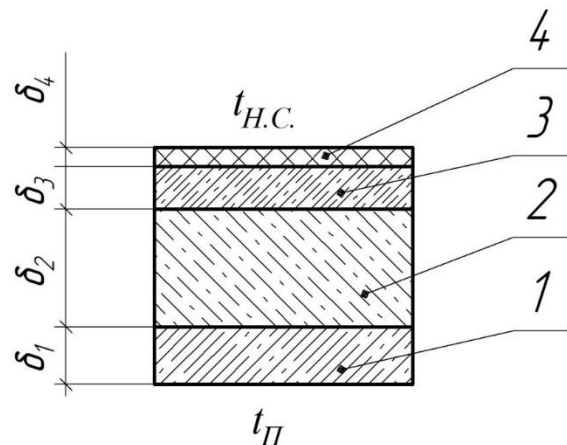


Рис. 1.3 – Розріз даху:

1 – залізобетонна плита $\left(\lambda_1 = 1,5 \frac{Bm}{m \cdot K}, \delta_1 = 0,220 \text{ м} \right)$;

2 – керамзитовий гравій $\left(\lambda_2 = 0,23 \frac{Bm}{m \cdot K}, \delta_2 = 0,400 \text{ м} \right)$;

3 – бетонна стяжка $\left(\lambda_3 = 1,2 \frac{Bm}{m \cdot K}, \delta_3 = 0,040 \text{ м} \right)$;

4 – гідроізоляційне покриття – рубероїд $\left(\lambda_4 = 0,18 \frac{Bm}{m \cdot K}, \delta_4 = 0,012 \text{ м} \right)$.

Таким чином, коефіцієнт теплопередачі для даху

$$k_{\text{дах}} = \frac{1}{\frac{1}{23,2} + \frac{0,22}{1,5} + \frac{0,4}{0,23} + \frac{0,04}{1,2} + \frac{0,012}{0,18} + \frac{1}{8,7}} = 0,47 \frac{Bm}{m^2 \cdot K}$$

Змн.	Арк.	№ докум.	Підпис	Дата

Тепловтрати через дах

$$Q_{\text{дах}} = k_{\text{дах}} \cdot L \cdot B \cdot (t_{\Pi} - t_{H.C.}) = 0,47 \cdot 8,6 \cdot 5,4 \cdot (20 - (-20)) = 0,87 \text{ кВт}.$$

Розглянемо тепловтрати через підлогу. Розподіл підлоги на сектори представлений на рис. 1.4.

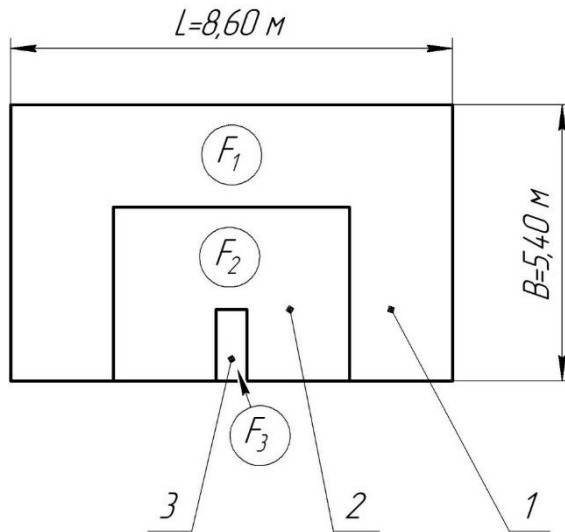


Рисунок 1.4 – Розподіл підлоги на сектори

Тепловтрати через підлогу, кВт

$$Q_{\text{ніж}} = \sum (k_y \cdot F_i) \cdot (t_{\Pi} - t_{H.C.}) \cdot m_{\text{ніж}} \quad (1.4)$$

де k_y – умовний коефіцієнт тепlop передачі відповідної зони підлоги, $\frac{\text{Бт}}{\text{м}^2 \cdot \text{К}}$.

Згідно [7, с. 60] $k_{y1} = 0,47 \frac{\text{Бт}}{\text{м}^2 \cdot \text{К}}$, $k_{y2} = 0,23 \frac{\text{Бт}}{\text{м}^2 \cdot \text{К}}$, $k_{y3} = 0,12 \frac{\text{Бт}}{\text{м}^2 \cdot \text{К}}$;

F_i – площа відповідної зони підлоги, м^2 ;

Змн.	Арк.	№ докум.	Підпис	Дата

$$m_{ni\delta} = \frac{1}{1 + 1,25 \cdot \sum \frac{\delta_{i_3}}{\lambda_{i_3}}} = \frac{1}{1 + 1,25 \cdot \left(\frac{\delta_1}{\lambda_1} + \frac{\delta_2}{\lambda_2} + \frac{\delta_3}{\lambda_3} \right)},$$

$m_{ni\delta}$ – коефіцієнт,

де λ та δ – товщини та коефіцієнти теплопровідності матеріалів, які складають конструкцію підлоги:

1 – залізобетонна плита $\left(\lambda_1 = 1,5 \frac{Bm}{m \cdot K}, \delta_1 = 0,22 \text{ м} \right)$;

2 – керамзитовий гравій $\left(\lambda_2 = 0,23 \frac{Bm}{m \cdot K}, \delta_2 = 0,2 \text{ м} \right)$;

3 – бетонна стяжка $\left(\lambda_3 = 1,2 \frac{Bm}{m \cdot K}, \delta_3 = 0,04 \text{ м} \right)$;

Таким чином,

$$m_{ni\delta} = \frac{1}{1 + 1,25 \cdot \left(\frac{0,22}{1,5} + \frac{0,2}{0,23} + \frac{0,04}{1,2} \right)} = 0,433$$

Знаходимо площі секторів підлоги

$$F_1 = 2 \cdot B + 2 \cdot B + 2 \cdot L = 2 \cdot 5,4 + 2 \cdot 5,4 + 2 \cdot 8,6 = 38,8 \text{ м}^2;$$

$$\begin{aligned} F_2 &= 2 \cdot (L - 4) + 2 \cdot (B - 4) + 2 \cdot (B - 4) = \\ &= 2 \cdot (8,6 - 4) + 2 \cdot (5,4 - 4) + 2 \cdot (5,4 - 4) = 14,8 \text{ м}^2; \end{aligned}$$

$$F_3 = (L - 8) \cdot (B - 4) = (8,6 - 8) \cdot (5,4 - 4) = 0,84 \text{ м}^2.$$

Площа першої двометрової зони враховується кожного разу за напрямками всіх зовнішніх стін, які складають зовнішній кут [7, с. 60].

Змн.	Арк.	№ докум.	Підпис	Дата

ХМ 05.00.00.00 ПЗ

Арк.

133

Таблиця 1.1 – Площі секторів підлоги

Сектор i	1	2	3
Площа F_i, m^2	38,8	14,8	0,84

$$Q_{ni\partial} = (0,47 \cdot 38,8 + 0,23 \cdot 14,8 + 0,12 \cdot 0,84) \cdot (20 - (-20)) \cdot 0,433 = 0,38 \text{ kBm}$$

Розглянемо тепловтрати через вікна.

$$Q_{вікн} = k_{вікн} \cdot \sum F_{вікн} \cdot (t_{\Pi} - t_{H.C.}) \quad (1.5)$$

де $k_{вікн} = 1,5 \frac{Bm}{m^2 \cdot K}$ – середній коефіцієнт теплопередачі через вікна;

$\sum F_{вікн}$ – сумарна площа вікон, m^2 .

Отже,

$$Q_{вікн} = 1,5 \cdot (2,17 \cdot 1,87 + 1,9 \cdot 2,15 + 1,9 \cdot 2,17 + 1,9 \cdot 1,73) \cdot (20 - (-20)) = 0,93 \text{ kBm}$$

Розглянемо тепловтрати через двері.

$$Q_{\partial\theta} = k_{\partial\theta} \cdot F_{\partial\theta} \cdot (t_{\Pi} - t_{H.C.}) \quad (1.6)$$

де $k_{\partial\theta} = 1,35 \frac{Bm}{m^2 \cdot K}$ – коефіцієнт теплопередачі через двері;

$F_{\partial\theta}$ – площа дверей, m^2 .

Отже,

Змн.	Арк.	№ докум.	Підпис	Дата

$$Q_{\partial e} = 1,35 \cdot 2,3 \cdot 1,37 \cdot (20 - (-20)) = 0,17 \text{ кВт}$$

Таким чином, загальні тепловтрати через огорожувальні конструкції

$$Q_{oe} = 4,99 + 0,87 + 0,38 + 0,93 + 0,17 = 7,34 \text{ кВт}$$

Проведемо аналіз зміни теплопродуктивності ТНУ від зміни температури навколошнього середовища $t_{H.C.}$ в залежності від температури у приміщенні t_{n} . Для автоматизації розрахунків тепловтрат через огорожувальні конструкції при різних температурах у програмному комплексі Borland Delphi на мові програмування Pascal автором роботи було створено програму розрахунку, загальний вигляд якої наведено на рис. 1.5.

Змн.	Арк.	№ докум.	Підпис	Дата

ХМ 05.00.00.00 ПЗ

Арк.

155

 Розрахунок тепловтрат у приміщенні

Початкові дані

Температура у приміщенні, С	22	Довжина, м	8,6	Ширина, м	5,4	Висота, м	3,13
Температура оточуючого середовища, С	-20				2,17		1,87
Коефіцієнт теплопровідності, Вт/(м ² *К):					2,15		1,9
штукатурки	0,9				2,17		1,9
цегляної кладки	0,82				1,73		1,9
залізобетонної плити	1,5				1,37		2,3
керамзитового гравію	0,23						
бетонної стяжки	1,2						
гідроізоляції (рубероїду)	0,18						
Коефіцієнт тепловіддачі, Вт/(м ² *К):							
для зовнішньої стінки	23,2	61, м	62, м	63, м	64, м		
для внутрішньої стінки 1	8,7						
для внутрішньої стінки 2	10						
Умовний коефіцієнт тепlop передачі, Вт/(м ² *К):							
для 1-ї зони	0,47						
для 2-ї зони	0,23						
для 3-ї зони	0,12						
Коефіцієнт тепlop передачі, Вт/(м ² *К):							
через вікна	1,5						
через двері	1,35						

Результати розрахунку

Тепловтрати, кВт:	
через стіни	5,24
через дах	0,91
через підлогу	0,39
через вікна	0,98
через двері	0,18
СУМАРНІ	7,71

Розрахувати

Рисунок 1.5 – Вікно програми розрахунку тепловтрат
через огорожувальні конструкції приміщення

Результати розрахунку тепловтрат у приміщенні за цією програмою при різних температурах навколошнього середовища $t_{H.C.}$ в залежності від температури у приміщенні $t_{\text{п}}$ наведені у табл. 1.2–1.5.

Таблиця 1.2 – Тепловтрати через огорожувальні конструкції при температурі в приміщенні $t_{\text{п}} = 22^{\circ}\text{C}$

№	Вид тепловрат, κBm	Температура навколишнього середовища $t_{\text{H.C.}}, ^{\circ}\text{C}$			
		-20	-10	0	+10
1	Q_{cm}	5,24	3,99	2,75	1,50
2	$Q_{\partial ax}$	0,91	0,70	0,48	0,26
3	$Q_{ni\partial}$	0,39	0,30	0,21	0,11
4	$Q_{\partial ik}$	0,98	0,75	0,51	0,28
5	$Q_{\partial \theta}$	0,18	0,14	0,09	0,05
6	$Q_{o\varrho}$	7,71	5,88	4,04	2,20

Таблиця 1.3 – Тепловтрати через огорожувальні конструкції при температурі в приміщенні $t_{\text{п}} = 20^{\circ}\text{C}$

№	Вид тепловрат, κBm	Температура навколишнього середовища $t_{\text{H.C.}}, ^{\circ}\text{C}$			
		-20	-10	0	+10
1	Q_{cm}	4,99	3,74	2,5	1,25
2	$Q_{\partial ax}$	0,87	0,66	0,44	0,22
3	$Q_{ni\partial}$	0,38	0,28	0,19	0,09
4	$Q_{\partial ik}$	0,93	0,70	0,47	0,23
5	$Q_{\partial \theta}$	0,17	0,13	0,09	0,04
6	$Q_{o\varrho}$	7,34	5,51	3,69	1,83

Таблиця 1.4 – Тепловтрати через огорожувальні конструкції при температурі в приміщенні $t_{\text{п}} = 18^{\circ}\text{C}$

№	Вид тепловрат, kBm	Температура навколишнього середовища $t_{\text{H.C.}}, ^{\circ}\text{C}$			
		-20	-10	0	+10
1	Q_{cm}	4,74	3,49	2,25	1,00
2	$Q_{\partial ax}$	0,83	0,61	0,39	0,18
3	$Q_{n\partial}$	0,36	0,26	0,17	0,08
4	$Q_{\text{вік}}$	0,89	0,65	0,42	0,19
5	$Q_{\partial \varepsilon}$	0,16	0,12	0,08	0,03
6	$Q_{o\varepsilon}$	6,98	5,13	3,31	1,48

Таблиця 1.5 – Тепловтрати через огорожувальні конструкції при температурі в приміщенні $t_{\text{п}} = 16^{\circ}\text{C}$

№	Вид тепловрат, kBm	Температура навколишнього середовища $t_{\text{H.C.}}, ^{\circ}\text{C}$			
		-20	-10	0	+10
1	Q_{cm}	4,49	3,24	2,00	0,75
2	$Q_{\partial ax}$	0,79	0,57	0,35	0,13
3	$Q_{n\partial}$	0,34	0,25	0,15	0,06
4	$Q_{\text{вік}}$	0,84	0,61	0,37	0,14
5	$Q_{\partial \varepsilon}$	0,15	0,11	0,07	0,03
6	$Q_{o\varepsilon}$	6,61	4,78	2,94	1,11

Аналіз зміни тепловтрат у графічному вигляді представлений на рис. 1.6.

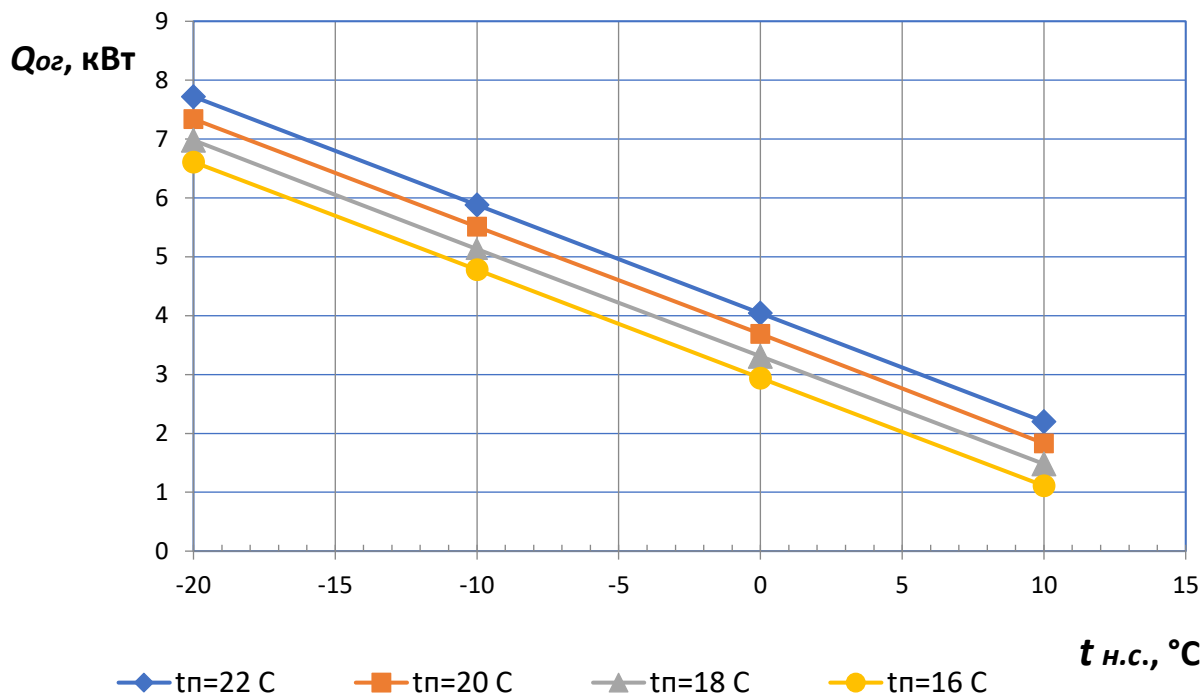


Рисунок 1.6 – Залежність тепловтрат від температури навколо середовища

У відповідності до рис. 1.6 тепловтрати з приміщення значно збільшуються при зниженні температури навколо середовища, а також при підвищенні рівня температур у опалювальному приміщенні. Так при температурі навколо середовища -20°C навіть при температурі у приміщенні $+16^{\circ}\text{C}$ буде спостерігатись значне теплове навантаження на ТНУ у розмірі 6,61 кВт.

Подальший розрахунок режимних параметрів ТНУ будемо виконувати для найбільш навантаженого режиму роботи, тобто при температурі навколо середовища -20°C і температурі у опалюваному приміщенні $+22^{\circ}\text{C}$.

2 ПРИНЦИПОВА СХЕМА ОПАЛЮВАНОГО ПРИМІЩЕННЯ

У якості теплонасосної установки, яка застосовується у системі опалення приміщення, використовуємо парокомпресійний тепловий насос з регенеративним теплообмінником (рис. 2.1). Він відрізняється від традиційного тим, що замість звичайного холодильного спірального компресора у ньому використовується вакуумний агрегат на базі рідинно-парового ежектора.

У якості холодильного агенту контуру парокомпресійного теплового насоса використовується вода (R718), в опалювальному контурі використовується мережева вода, а у контурі випарника циркулює 27,4%-ий розчин пропіленгліколя.

Температура конденсації холодильного агента у контурі теплового насоса дорівнює +60, у температура випарування – +5°C.

Схемне рішення системи опалення приміщення передбачає включення до лінії системи централізованого опалення з можливістю автономної роботи в тому числі. Утилізація низькотенційного джерела енергії передбачає використання теплоти ґрунту. У схемі передбачена робота ТНУ як у моновалентному, так і у бівалентному режимі. Випарник виконано кожухотрубного типу, де у трубному просторі циркулює вода, а у міжтрубно-му – 27,4%-ий розчин пропіленгліколя. Режим течії теплоносіїв – перехресний.

Конденсатор в схемі ТНУ виконує роль проміжного теплообмінника між холодильним агентом контуру ТНУ та теплоносієм системи опалення. Конденсатор виконаний у якості високоефективного теплообмінного апарату пластинчастого типу для забезпечення максимальної теплопередачі до рідини системи опалення.

Змн.	Арк.	№ докум.	Підпис	Дата
------	------	----------	--------	------

ХМ 05.00.00.00 ПЗ

Арк.

20

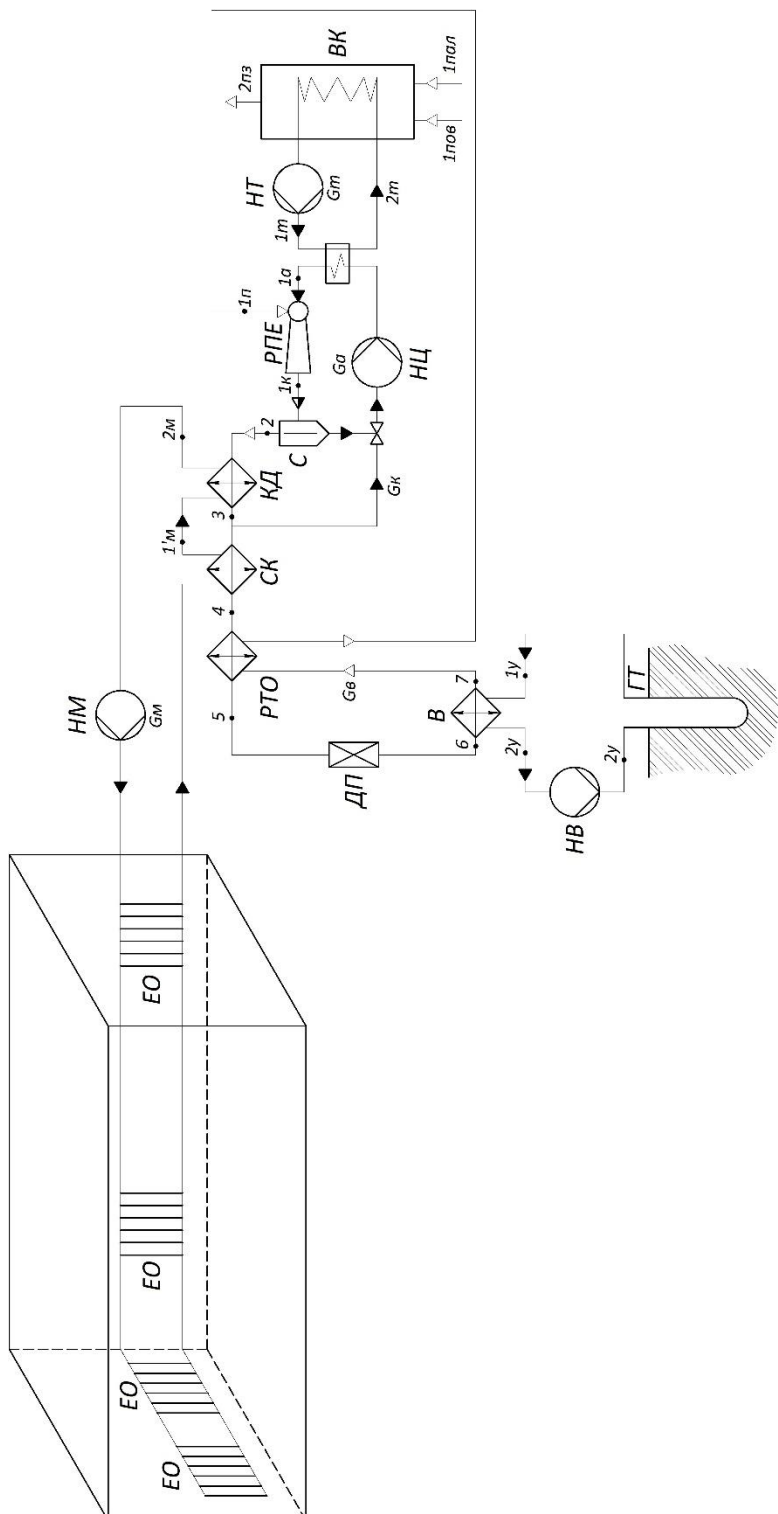


Рисунок 2.1 – Принципова схема теплонасосної установки
на базі рідинно-парового ежектора:

РПЕ – рідинно-паровий ежектор, С – сепаратор, НЦ – насос контуру рідинно-парового ежектора, ТП – теплообмінник-підігрівач, НТ – насос теплоносія, ВК – водогрійний котел, КД – конденсатор, СК – субкулер, РТО – регенеративний теплообмінник, ДП – дросельний пристрій, В – випарник, НВ – насос розсільний, ГТ – ґрутовий теплообмінник, НМ – насос мережової води, ЕО – елемент опалення

Змн.	Арк.	№ докум.	Підпис	Дата

ХМ 05.00.00.00 ПЗ

Арк.

21

У даній технологічній схемі замість звичайного холодильного спірального компресора використовується вакуумний агрегат на базі рідинно-парового ежектора, робочий процес якого заснований на принципі струминної термокомпресії (рис. 2.2).

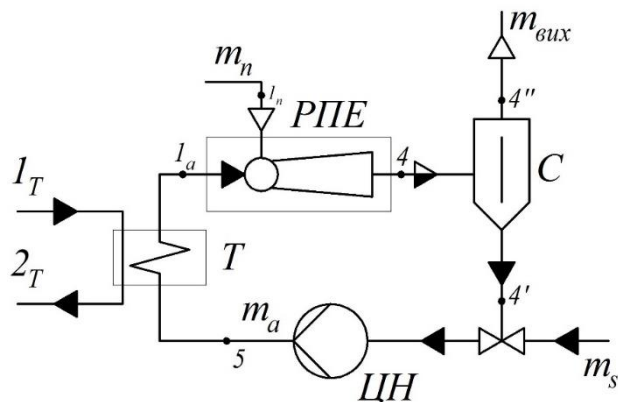


Рисунок 2.2 – Схема вакуумного агрегату на базі РПЕ:
С – сепаратор; Т – теплообмінник-підігрівач; ЦН – циркуляційний насос

Цей принцип базується на тому, що проходження робочої речовини активного потоку через сопло Лаваля супроводжується процесом релаксаційного пароутворення в тій його частині, яка розширяється. Кінетика цих процесів характеризується наявністю трьох критичних перерізів, в яких відбувається структурна перебудова потоку. У вихідному перерізі сопла активного потоку РПЕ формується надзвуковий струмінь дрібнодисперсної парокраплинної структури з високим об’ємним вмістом пари, тиск якої менший, ніж тиск навколошнього середовища ($p_a < p_{o.c.}$). Протікання робочого середовища активного потоку через сопло Лаваля відповідає процесу 1a–2a (рис. 2.3). Потім ця пара інжектує робочу речовину пасивного потоку, що надходить до приймальної камери з тиском p_02 .

На вході до камери змішування тиски робочих речовин активного та пасивного потоків вирівнюються (процеси 2a–2k та 1n–2k відповідно), і відбувається їх змішування в єдиний двофазний потік з досягненням тиску p_3

Змн.	Арк.	№ докум.	Підпис	Дата

(процес 2_к-3), після цього в дифузорі відбувається подальше стиснення змішаного потоку і досягнення тиску p_4 , що дорівнює тиску на виході з ежектора (процес 3-4).

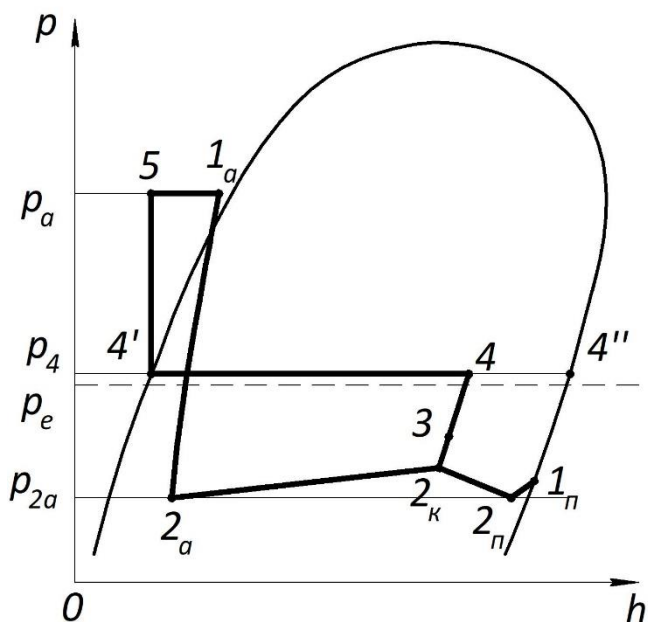


Рисунок 2.3 – Зображення робочого процесу РПЕ у p,h -координатах

Стиснена в РПЕ пара відділяється в сепараторі інерційного типу (процес 4-4'), з якого насичена рідина відводиться насосом у циркуляційний контур (процес 4'-5) і після підігрівання в теплообміннику-підігрівачі (процес 5-1_a) знову подається у сопло активного потоку.

Змн.	Арк.	№ докум.	Підпис	Дата

3 РОЗРАХУНОК ПАРАМЕТРІВ ЦИКЛУ ТЕПЛОНАСОСНОЇ УСТАНОВКИ

На рис. 3.1 представлено цикл теплонасосної установки на базі рідинно-парового ежектора.

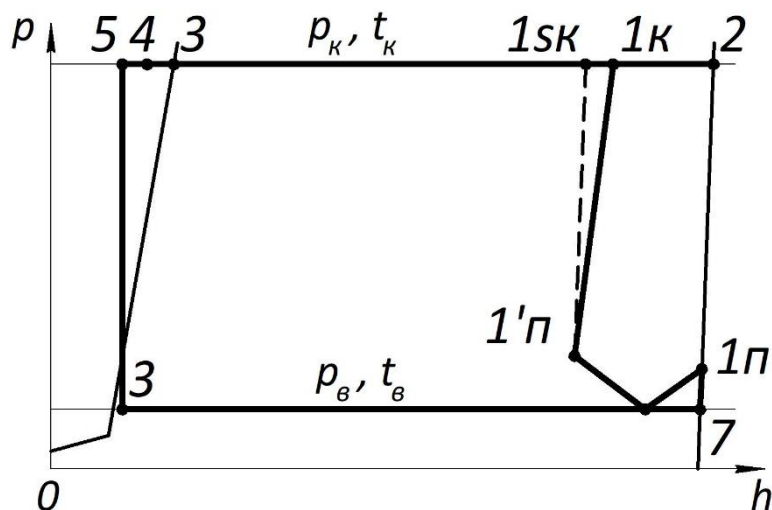


Рисунок 3.1 – Цикл теплонасосної установки
на базі рідинно-парового ежектора у p,h -координатах

Для розрахунку параметрів циклу ТНУ необхідно попередньо виконати розрахунок режимних параметрів рідинно-парового ежектора. Розрахунок виконуємо за програмою, яка була створена автором роботи [8] за розробленою ним математичною моделлю. Результати розрахунку подані на рис. 3.2.

Після розрахунку рідинно-парового ежектора, визначаємо параметри холодильного агенту в інших вузлових точках циклу і заносимо їх до табл. 3.1 [9].

Змн.	Арк.	№ докум.	Підпис	Дата

Расчет ЖПЭ с конической камерой смешения, откачивающего насыщенный водяной пар

Исходные данные		Результаты расчета					
Температура рабочей среды на входе в активное сопло t_{01} , С	113	Рабочая струя пара					
Давление рабочей среды на входе в активное сопло P_{01} , бар	2	t_{01n} , С	δt_{01} , град.	$(1-e_{s0})$	h_{01} , кДж/кг	s_{01} , кДж/(кг [°] К)	
Давление смеси на выходе из эжектора P_4 , бар	0,2	120,23	7,23	0,21	473,9	1,4515	
Давление рабочей среды на срезе активного сопла P_a , бар	0,02	w_a , м/с	v_a , м ³ /кг	x_a	s_a , кДж/(кг [°] К)	f_a	
Давление рабочей среды на входе в пассивное сопло P_{02} , бар	0,02	320,089	9,52	0,1419	1,4622	264,176	
Массовое содержание влаги во вторичном паре x_n	1	Инжектируемая струя пара					
Коэффициент расхода входного участка сопла	0,97	v_{02} , м ³ /кг	h_{02} , кДж/кг	s_{02} , кДж/(кг [°] К)			
Коэффициент метастабильности расхода	1,03	67,07	2533,1	8,7238			
Угол диффузорности выходного участка эжектора, град.	8	Приемная камера					
Скоростные коэффициенты элементов эжектора:		w_k , м/с	v_1 , м ³ /кг	β_1	M_1	f_1	
- активного сопла	0,97	313,604	9,58	1	1,96	1,027	
- входного участка	0,98						
- пассивного сопла	0,95						
- диффузора	0,92						
KPD_s	0,8	P_2 , бар	x_2	v_2 , м ³ /кг	h_2 , кДж/кг	M_2	
n	0,5	0,013	0,9842	99,21	2531,1	0,76	
M_3	0,7	v_3 , м ³ /кг	f_3	s_3 , кДж/(кг [°] К)	h_3 , кДж/кг	f_k	
		0,00101	0,355	1,5692	492,8		
		Камера эжектора					
		P_n , бар	P_3 , бар	x_3	β_3	w_3 , м/с	
		0,045	0,154	0,1115	0,9991	103,52	
		v_3 , м ³ /кг	f_3	s_3 , кДж/(кг [°] К)	h_3 , кДж/кг		
		0,00101	0,355	1,5692	492,8		
		Диффузор					
		v_4 , м ³ /кг	x_4	β_4	h_4 , кДж/(кг [°] К)	s_4 , кДж/кг	
		0,00102	0,1046	0,9989	1896,5	4,8684	
		Достижимые показатели					
		U_k	Ψ_4	KPD_{ei}			
		0,20216	1,392	0,683			
Запуск расчета							

Рисунок 3.2 – Результати розрахунку режимних параметрів рідинно-парового ежектора

Таблиця 3.1 – Параметри води у вузлових точках циклу

	In	I_k	2	3	4	5	6	7
t , °C	15	60	60	60	50	45	5	5
p , бар	0,02	0,2	0,2	0,2	0,2	0,02	0,02	0,02
h , кДж/кг	2533,1	1896,5	3125,23	253,461	209,8	188,58	188,58	2509,38
s , кДж/(кг · K)	8,7238	4,8684	9,091	0,833	0,706	0,641	0,68	9,03
v , м ³ /кг	67,07	-	-	-	-	-	-	-

Визначаємо питомі теплові навантаження на апарати:

- конденсатор

$$q_K = h_2 - h_3 = 3125,23 - 253,46 = 2871,77 \frac{\text{кДж}}{\text{кг}};$$

- випарник

$$q_B = h_7 - h_6 = 2509,38 - 188,58 = 2320,8 \frac{\text{кДж}}{\text{кг}};$$

- субкулер

$$q_{CK} = h_3 - h_4 = 253,46 - 209,8 = 43,66 \frac{\text{кДж}}{\text{кг}};$$

- регенеративний теплообмінник

$$q_{PTO} = h_{1n} - h_7 = 2533,1 - 2509,38 = 19,42 \frac{\text{кДж}}{\text{кг}};$$

$$q_T = h_2 - h_4 = 3125,23 - 209,8 = 2915,43 \frac{\text{кДж}}{\text{кг}}.$$

Визначаємо масову витрату води:

$$m_x = \frac{\sum Q}{q_T} = \frac{7,72}{2915,43} = 0,0026 \frac{\text{кг}}{\text{с}}$$

Визначаємо теплові навантаження на апарати:

- конденсатор

$$Q_K = m_x \cdot q_K = 2871,77 \cdot 0,0026 = 7,466 \text{ кВт};$$

- випарник

$$Q_B = m_x \cdot q_B = 2320,8 \cdot 0,0026 = 6,032 \text{ кВт};$$

- субкулер

$$Q_{CK} = m_x \cdot q_{CK} = 43,66 \cdot 0,0026 = 0,113 \text{ кВт};$$

- регенеративний теплообмінник

$$Q_{PTO} = m_x \cdot q_{PTO} = 19,42 \cdot 0,0026 = 0,05 \text{ кВт.}$$

Визначаємо питому роботу рідинно-парового ежектора:

Змн.	Арк.	№ докум.	Підпис	Дата	ХМ 05.00.00.00 ПЗ	Арк.
						26

$$l_{\text{ППЕ}} = \frac{l_s}{\eta_{\text{ППЕ}}} = \frac{2533,1 - 1896,5}{0,753} = 845,4 \frac{\text{кДж}}{\text{кг}}$$

Визначаємо потужність рідинно-парового ежектора:

$$N_{\text{ППЕ}} = m_x \cdot l_{\text{ППЕ}} = 845,4 \cdot 0,0026 = 2,2 \text{ кВт.}$$

4 РОЗРАХУНОК ЕНЕРГОЕФЕКТИВНОСТІ ЦИКЛУ

Для визначення енергоефективності циклу використаємо поняття «коєфіцієнта перетворення циклу» СОР і визначимо його з формули:

$$\text{СОР}_{\text{THY}} = \frac{\sum Q}{N_{\text{ППЕ}}} = \frac{7,71}{2,2} = 3,5.$$

Змн.	Арк.	№ докум.	Підпис	Дата

ХМ 05.00.00.00 ПЗ

Арк.

27

5 РОЗРАХУНОК ГЕОМЕТРИЧНИХ ПАРАМЕТРІВ РІДИННО-ПАРОВОГО ЕЖЕКТОРА

Розрахунок виконуємо за програмою, яка була створена автором роботи [8] за розробленою ним математичною моделлю. Результати розрахунку подані на рис. 5.1.

Расчет ЖПЭ с конической камерой смешения, откачивающего насыщенный водяной пар

Исходные данные			Геометрические размеры		
Температура рабочей среды на входе в активное сопло t_{01} , С	116	Угол диффузорности выходного участка эжектора, град.	8		
Давление рабочей среды на входе в эжектор p_{01} , бар	2	Скоростные коэффициенты элементов эжектора	0,97		
Давление смеси на выходе из эжектора p_4 , бар	0,2	- активного сопла	0,97		
Давление рабочей среды на срезе активного сопла p_a , бар	0,02	- входного участка	0,98		
Давление рабочей среды на входе в пассивное сопло p_{02} , бар	0,02	- пассивного сопла	0,95		
Массовое содержание влаги во вторичном паре x_p , кг/кг	1	- диффузора	0,92		
Коэффициент расхода входного участка сопла	0,97	KPD _S	0,8		
Коэффициент метастабильности расхода	1,03	n	0,5		
Угол конфузорности входного участка сопла, град.	60	M ₃	0,7		
Угол диффузорности выходного участка сопла, град.	8	Расход рабочей среды на входе в пассивное сопло m_p , кг/с	0,0026		
Угол конфузорности входного участка камеры смешения, град.	6	Количество эжекторов, шт.	1		
Запуск расчета					
			Достижимые показатели эффективности		
			Коэффициент инжекции	0,20216	
			Степень перепроизводства пара	1,392	
			Относительный внутренний к.п.д.	0,683	

Рисунок 5.1 – Результати розрахунку геометричних параметрів рідинно-парового ежектора

Змн.	Арк.	№ докум.	Підпис	Дата

6 РОЗРАХУНОК ТА ПІДБІР АПАРАТІВ

6.1 Тепловий розрахунок теплообмінника-підігрівача

Визначення теплового навантаження

$$Q_{\Pi} = m_A \cdot q_{\Pi} = 0,0129 \cdot 224,19 = 2,89 \text{ кВт}$$

де m_A - масова витрата активного потоку (витрата робочого середовища на вході в активне сопло), кг/с ;

$q_{\Pi} = c_A \cdot \Delta T_A = i_{1A} - i_5 = 4,23 \cdot 53 = 224,19 \frac{\text{кДж}}{\text{кг}}$ – питома теплового навантаження;

$c_A = 4,23 \frac{\text{кДж}}{\text{кг}}$ - теплоємність рідини в інтервалі $T_{1A} \dots T_2$;

$T_{1A} = 113^{\circ}\text{C}$ – температура входу активного потоку в РПЕ ;

$T_2 = 60^{\circ}\text{C}$ – температура рідини після насоса.

Температурний напір

$$\Delta \bar{t} = \frac{t_{1A} - t_5}{\ln \frac{t_{\Pi} - t_5}{t_{\Pi} - t_{1A}}} = \frac{113 - 60}{\ln \frac{120 - 60}{120 - 113}} = 24,7^{\circ}\text{C}$$

де t_{Π} - температура котельної пари

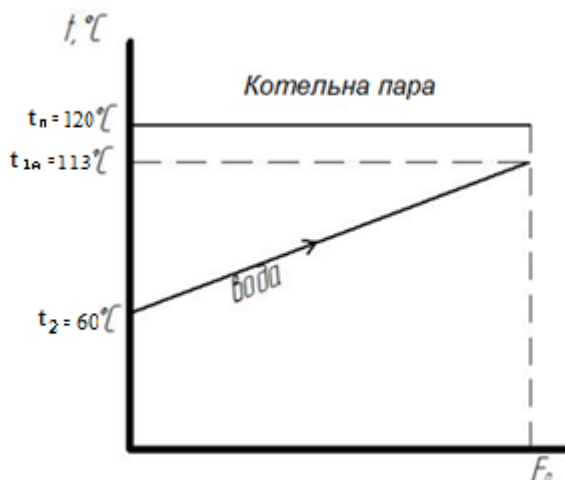


Рисунок 6.1 – Температурний напір у теплообміннику-підігрівачі

Орієнтовочне значення коефіцієнта тепловіддачі

Змн.	Арк.	№ докум.	Підпис	Дата	ХМ 05.00.00.00 ПЗ	Арк.
29						

- для горизонтального кожухотрубного апарату з конденсацією пара у

$$k = 2000 \frac{Bm}{m^2 \cdot K}$$

міжтрубному просторі

Теплопередавальна поверхня

$$F_{\Pi} = \frac{Q_{\Pi}}{k \cdot \Delta t} = \frac{2,89 \cdot 10^3}{2000 \cdot 27,4} = 0,052 \text{ м}^2$$

Витрата теплоносія

$$(m_{kn})_{T-\Pi} = \frac{1,02 \cdot Q_{\Pi}}{\Delta i_{T-\Pi}} = \frac{1,02 \cdot 2,89}{2134} = 0,001 \frac{\text{кг}}{\text{с}}$$

Коефіцієнт 1,02 враховує втрати теплоти в довкілля.

$$\Delta i_{T-\Pi} = r(t_{\Pi}) = r(143,62^\circ C) = 2134 \frac{\text{кДж}}{\text{кг}}$$

Для котельної пари

Зміна ексергії теплоносія

$$(\Delta E_{kn})_{T-\Pi} = (m_{kn})_{T-\Pi} \cdot \Delta e_{kn} = 0,4306 \cdot 781,59 = 336 \text{ кВт}$$

Для котельної пари:

$$\Delta e_{kn} = r(t_{\Pi}) - T_{oc} (S'' - S') = 2134 - 293 \cdot (6.896 - 1.776) = 633,84 \frac{\text{кДж}}{\text{кг}}$$

S'', S' - питома ентропія пари і конденсату при t_{Π} ;

T_{oc} - Температура довкілля, приймаємо 293К.

6.2 Розрахунок сепаратора

6.2.1 Початкові дані

- масова витрата активного потоку, $\dot{m}_A = 0,0129 \frac{\text{кг}}{\text{с}}$;
- коефіцієнт ежекції РПК, $u = 0,20216$;
- ступінь сухості наасиченої пари на виході з РПЕ, $x_4 = 0,1046$;
- тиск наасиченої пари на виході з РПЕ, $P_2 = 0,2$ бар;
- температура наасиченої пари на виході з РПЕ, $t_2 = 60^\circ C$;
- внутрішній діаметр нагнітального патрубка РПЕ, $d_4 = 0,023$ м;
- допустиме винесення крапельної рідини, $S = 25 \frac{\text{г}}{\text{кг}}$.

Змн.	Арк.	№ докум.	Підпис	Дата	ХМ 05.00.00.00 ПЗ	Арк.
						30

6.2.2 Розрахункова схема сепаратора паро-рідинного потоку

Розрахункова схема сепаратора для механічного розділення потоку змішування на виході з РПЕ представлена на рисунку 5.2.

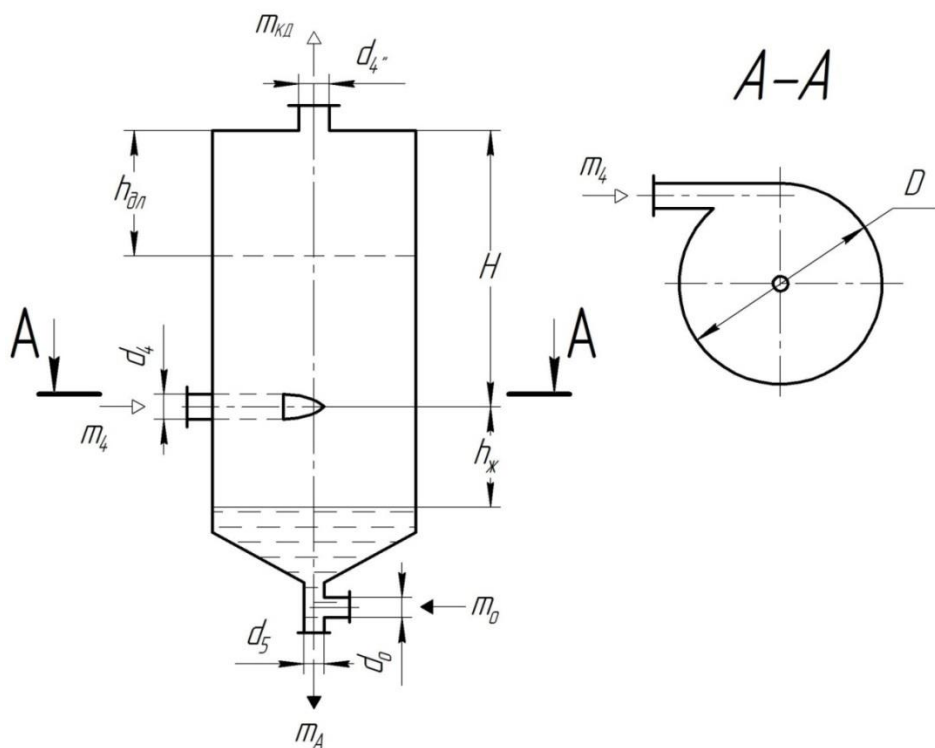


Рисунок 6.2 – Розрахункова схема сепаратора

Позначення режимних і конструктивних параметрів на рис. 5.2:

\dot{m}_4 – масова витрата потоку змішування на виході з РПЕ;

\dot{m}_{BA} – масова витрата парового потоку йде на випарний апарат;

\dot{m}_0 – масова витрата конденсату, що повертається в циркуляційний контур СТК-модуля з випарного апарату;

\dot{m}_A – масова витрата рідини в циркуляційному контурі і на вході в робоче сопло РПЕ (активного потоку);

$d_4, d_{4''}, d_5, d_0$ – внутрішні діаметри патрубків підведення і відведення робочого середовища в різних фазових станах;

D – внутрішній діаметр сепаратора;

H – висота апарату від рівня введення паро-рідинної суміші;

Змн.	Арк.	№ докум.	Підпис	Дата

$h_{ж}$ – відстань рівня рідини щодо введення потоку на сепарацію;

$h_{дл}$ – висота установки дірчастого листа або жалюзі.

6.2.3 Визначення теплофізичних властивостей робочого середовища

З відповідних інформаційних джерел [5, 6] визначаємо нижченаведені параметри:

$v'_4 = 0.00103 \frac{\text{м}^3}{\text{кг}}$, $v''_4 = 3,993 \frac{\text{м}^3}{\text{кг}}$ – питомий об'єм рідкої і парової фаз;

$\rho'_4 = 974,2 \frac{\text{кг}}{\text{м}^3}$, $\rho''_4 = 0.250 \frac{\text{кг}}{\text{м}^3}$ – густина рідкої і парової фази;

$v'_4 = 0.385 \cdot 10^{-6} \frac{\text{м}^2}{\text{с}}$, $v''_4 = 45,6 \cdot 10^{-6} \frac{\text{м}^2}{\text{с}}$ – кінематична в'язкість рідкої і парової фаз;

$\mu'_4 = 375 \cdot 10^{-6} \text{ Па} \cdot \text{с}$, $\mu''_4 = 11,4 \cdot 10^{-6} \text{ Па} \cdot \text{с}$ – динамічна в'язкість рідкої і парової фаз;

$\sigma = 630 \cdot 10^{-4} \frac{\text{Н}}{\text{м}}$ – поверхневий натяг рідкої фази;

Вибір наведених величин проводиться при температурі $t_4 = 60^\circ\text{C}$ і тиском $P_4 = 0,2$ бар.

Теплофізичні властивості потоку змішування, що надходить на сепарацію який визначається за такими розрахунковими залежностями.

Питома об'єм і густина:

$$v_4 = \frac{(1-x_4)}{\rho'_4} + \frac{x_4}{\rho''_4} = \frac{(1-0.1046)}{974,2} + \frac{0.1046}{0.250} = 0,4$$

або

$$\rho_4 = \frac{1}{v_4} = \frac{1}{0.4} = 2,5 \frac{\text{кг}}{\text{м}^3}$$

Кінематична в'язкість (з допущенням правила адитивності):

$$\begin{aligned} v_4 &= (1 - x_4) \cdot v'_4 + x_4 \cdot v''_4 = (1 - 0.1046) \cdot 0.385 \cdot 10^{-6} + 0.1046 \cdot 45,6 \cdot 10^{-6} \\ &= 5,11 \cdot 10^{-6} \frac{\text{м}^2}{\text{с}} \end{aligned}$$

Змн.	Арк.	№ докум.	Підпис	Дата

динамічна в'язкість:

$$\mu_4 = \frac{v_4}{U_4} = v_4 \cdot \rho_4 = 5,11 \cdot 10^{-6} \cdot 2,5 = 12.77 \cdot 10^{-6} \text{ Па} \cdot \text{с}$$

6.2.4 Розрахунок критерію циклонного процесу в сепараторі

Згідно [6] розділювальна здатність циклонного сепаратора характеризується наступним критерієм:

$$C_y = \frac{D^2 \cdot w_{окр}^2}{v^2} \cdot \frac{(\rho'_4 - \rho''_4)}{\rho''_4}$$

де D – внутрішній діаметр сепаратора;

$w_{окр}$ – окружна складова швидкості розділювального потоку насиченої пари (парокапельного середовища).

При розрахунку приймається умова:

$$w_{окр} = w_4$$

де w_4 – середня швидкість потоку у вхідному патрубку сепаратора.

З огляду на те, що діаметр сепаратора на даній стадії розрахунку невідома, вводимо в розгляд параметр співвідношення площ:

$$\bar{f} = \frac{F_c}{F_4} = \left(\frac{D}{d_4} \right)^2$$

де F_c и F_4 – площи вільних перерізів сепаратора і вхідного патрубка.

Рекомендовані значення співвідношення площ: $\bar{f} = 4 \dots 16$, приймаємо $\bar{f} = 4$

Задавшись величиною \bar{f} и знаючи діаметр d_4 отримаємо:

$$D^2 = \bar{f} \cdot d_4^2$$

У свою чергу швидкість w_4 , визначається залежністю:

$$w_4 = \frac{\dot{m}_4 \cdot 4}{\rho_4 \cdot \pi \cdot d_4^2} = 17,53 \text{ м/с}$$

Після підстановки отримаємо:

Змн.	Арк.	№ докум.	Підпис	Дата	ХМ 05.00.00.00 ПЗ	Арк.
33						

$$C_y = \frac{16 \cdot \bar{f} \cdot \dot{m}_4^2}{\pi^2 \cdot \mu_4^2 \cdot d_4^2} \cdot \frac{(\rho'_4 - \rho''_4)}{\rho''_4} = \frac{16 \cdot 4 \cdot 0.015^2}{3.14^2 \cdot 12.77^2 \cdot 10^{-12} \cdot 0.023^2} \cdot \frac{974,2 - 0.250}{0.250} \\ = 6,595 \cdot 10^{13}$$

де \dot{m}_4 - масова витрата потоку Змішування на виході з РПЕ:

$$\dot{m}_4 = \dot{m}_A \cdot (1 + u) = 0.0129 \cdot (1 + 0.20216) = 0.015 \frac{\text{кг}}{\text{с}}$$

При:

$C_y < 1.8 \cdot 10^{14}$ - має місце ламінарний режим сепарації;

$1.8 \cdot 10^{14} < C_y < 2.75 \cdot 10^{14}$ - зона перехідного режиму;

$C_y > 2.75 \cdot 10^{14}$ - область турбулентного режиму.

Тоді $C_y = 6,595 \cdot 10^{13} < 1.8 \cdot 10^{14}$ - ламінарний режим сепарації

6.2.5 Попередній розрахунок якості сепарації

Залежно від режиму сепарації перенесення крапельної рідини з паровим потоком розраховується за такими формулами:

Для ламінарного режиму:

$$S = 0.23 \cdot 10^{-8} \cdot C_y^{0.87} \cdot K_p^{-0.63}, \frac{\text{мг}}{\text{кг}}$$

Для перехідного режиму:

$$S = B \cdot C_y^{3.71} \cdot K_p^{-0.73} \cdot \left(\sqrt{\frac{\sigma}{g \cdot (\rho'_4 - \rho''_4)}} / H \right)^{1.32}, \frac{\text{мг}}{\text{кг}}$$

Для турбулентного режиму:

$$S = 0.525 \cdot 10^{-7} \cdot C_y^{0.87} \cdot K_p^{-0.27} \cdot \left(\sqrt{\frac{\sigma}{g \cdot (\rho'_4 - \rho''_4)}} / H \right)^{0.91}, \frac{\text{мг}}{\text{кг}}$$

У даних рівняннях величиною K_p позначений критерій, який характеризує відношення абсолютноого тиску в системі до скачка тиску на межі поділу фаз. Його вираз записується у вигляді:

Змн.	Арк.	№ докум.	Підпис	Дата

$$K_p = \frac{P}{\sqrt{\sigma \cdot g \cdot (\rho' - \rho'')}} = \frac{P_4}{\sqrt{\sigma \cdot g \cdot (\rho'_4 - \rho''_4)}} == \frac{20000}{\sqrt{630 \cdot 10^{-4} \cdot 9.81 \cdot (974,2 - 0.250)}} = 81,5$$

де P_4 береться в Па, а σ в $\frac{Н}{м}$.

Тоді для ламінарного режиму перенесення краплинної рідини буде дорівнювати:

$$S = 0.23 \cdot 10^{-8} \cdot (6,595 \cdot 10^{13})^{0,87} \cdot 81,5^{-0,63} = 151,5 \frac{\text{МГ}}{\text{КГ}}$$

Отримане значення перенесення порівнюємо з допустимим значенням, представленим у вихідних даних. За умови $S > S_{\text{доп}}$ виконується перерахунок критеріїв з прийняттям нового значення \bar{f} .

$$S = 151,5 \frac{\text{МГ}}{\text{КГ}} < S_{\text{доп}} = 25 \frac{\text{Г}}{\text{КГ}} - \text{умова виконується.}$$

6.2.6 Рекомендації по вибору геометричних параметрів сепаратора

Діаметр сепаратора:

$$D = d_4 \sqrt{\bar{f}} = 0.023 \cdot \sqrt{4} = 0.046 \text{ м}$$

Висота апарату від рівня введення паро-рідинної суміші:

$$H = 5D = 5 \cdot 0.046 = 0,23 \text{ м}$$

Відстань рівня рідини щодо введення потоку на сепарацію:

$$h_{ж} = D \approx 0.046 \text{ м}$$

Висота установки дірчастого листа або жалюзі.

$$h_{дл} = D \approx 0.046 \text{ м}$$

Внутрішній діаметр патрубка відводу робочого середовища в рідкому стані:

$$d_5 = \sqrt{\frac{4 \cdot \dot{m}_A}{\pi \cdot \rho'_4 \cdot w_5}} = \sqrt{\frac{4 \cdot 0.0129}{3.14 \cdot 974.2 \cdot 3}} = 0,0023 \text{ м}$$

де w_5 - швидкість відводу рідкої робочого середовища, приймаємо $w_5 = 3 \text{ м/с}$

Змн.	Арк.	№ докум.	Підпис	Дата

ХМ 05.00.00.00 ПЗ

Арк.

35

Масова витрата конденсату, що повертається в циркуляційний контур СТК– модуля з випарного апарату дорівнює:

$$\dot{m}_0 = \dot{m}_A \cdot u \cdot (\psi_4 - 1) = 0.0129 \cdot 0.20216 \cdot (1.171 - 1) = 0,00044 \frac{\text{кг}}{\text{с}}$$

де $\psi_4 = 1.171$ – коефіцієнт перевиробництва пара.

Масова витрата парового потоку, що йде на випарний апарат:

$$\dot{m}_{BA} = \dot{m}_A \cdot u \cdot \psi_4 = 0.0129 \cdot 0.20216 \cdot 1.171 = 0,0030 \frac{\text{кг}}{\text{с}}$$

Внутрішній діаметр патрубка відводу робочого середовища в паровому стані:

$$d_{4''} = \sqrt{\frac{4 \cdot \dot{m}_{BA}}{\pi \cdot \rho_4'' \cdot w_{BA}}} = \sqrt{\frac{4 \cdot 0.0030}{3.14 \cdot 0.250 \cdot 50}} = 0.017 \text{ м}$$

де w_{BA} – швидкість парового потоку, що йде на ВА, приймаємо $w_{BA} = 50 \frac{\text{м}}{\text{с}}$

6.3 Підбір циркуляційного насоса

Для підбору циркуляційного насоса треба визначити необхідний тиск насоса, його потужність, об'ємну витрату (подачу) рідини циркулюючої через насос. Необхідний напір насоса визначається за формулою:

$$\Delta P_h = P_a - P_4 = 200 - 20 = 180 \text{ кПа} = 18,36 \text{ м. вод. ст.}$$

де $P_a = 200 \text{ кПа}$ – тиск активного потоку;

$P_4 = 20 \text{ кПа}$ – тиск насыченої пари на виході з РПЕ;

Потужність циркуляційного насоса:

$$N_h = \frac{V_h \cdot \Delta P_h}{\eta_h \cdot \eta_{dv}}, \text{ кВт}$$

де V_h – об'ємна витрата (подача) рідкого робочого середовища, $\frac{\text{м}^3}{\text{с}}$;

$\eta_h = 0.75$ – ККД насоса;

$\eta_{dv} = 0.9$ – ККД електродвигуна.

Змн.	Арк.	№ докум.	Підпис	Дата	ХМ 05.00.00.00 ПЗ	Арк.
						36

Об'ємна витрата (подача) рідкого робочого середовища визначається по формулі:

$$V_h = \frac{\dot{m}_A}{\rho'_4} = \frac{0.0129}{974.2} = 0.000013 \frac{m^3}{s}$$

де $\dot{m}_A = 0.0129 \frac{kg}{s}$ — масова витрата рідини в циркуляційному контурі і на вході в робоче сопло РПЕ (активного потоку)

$$\rho'_4 = 974.2 \frac{kg}{m^3}$$
— густина рідини в циркуляційному контурі.

Тоді потужність насоса:

$$N_h = \frac{0.000013 \cdot 180}{0.75 \cdot 0.9} = 0.0034 \text{ кВт}$$

Виходячи з розрахованих даних підбираємо по каталогу насос Pedrollo PKm 60:

- Вихровий насос з чавунним корпусом.
- Робоче колесо – латунь.
- Подача до 90 л/хв. (5,4 м³/год)
- Напір до 100 м
- Манометрична висота всмоктування до 8 м
- Температура рідини від -10 до +60°C
- Максимальна температура довкілля +45°C

Змн.	Арк.	№ докум.	Підпис	Дата

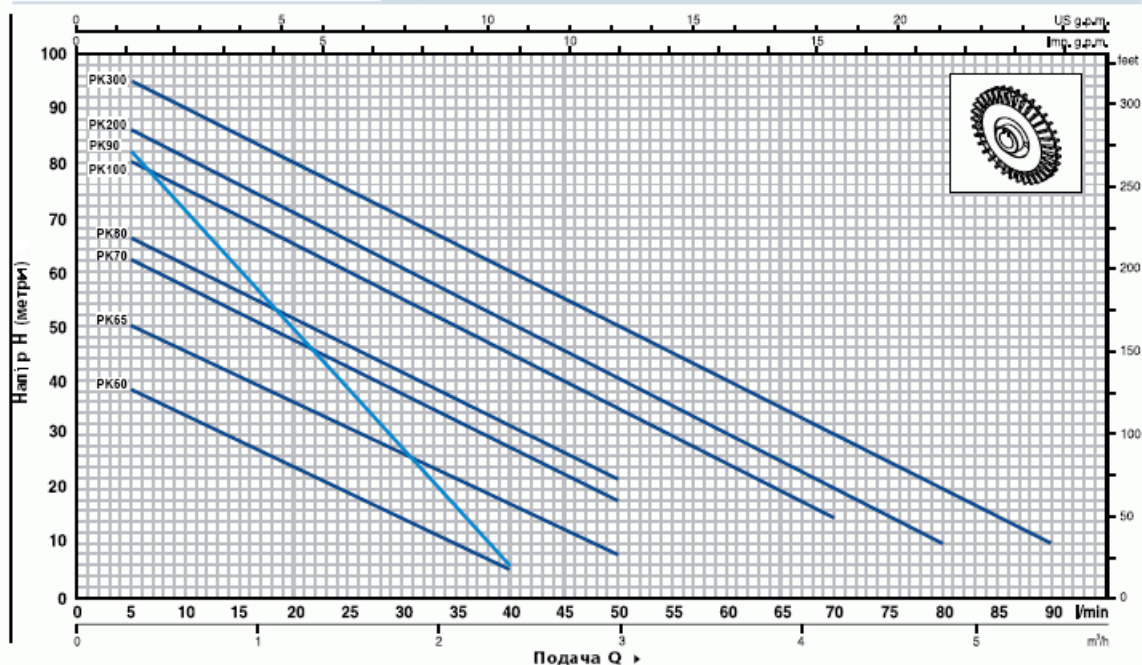
ХМ 05.00.00.00 ПЗ

Арк.

37

ТЕХНІЧНІ ХАРАКТЕРИСТИКИ

50 Гц n= 2900 об/хв HS = 0 м

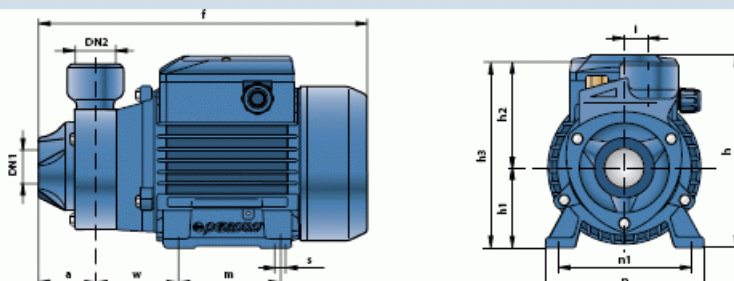


ТИП	ПОТУЖНІСТЬ		Q л/хв	М ³ /год	0	0,3	0,6	0,9	1,2	1,5	1,8	2,1	2,4	3,0	3,6	4,2	4,8	5,4
	Однофазний	Трьохфазний			0	5	10	15	20	25	30	35	40	50	60	70	80	90
PKm 60°	PK 60°	0,37	0,50	40	38	33,5	29	24	19,5	15	10	5						
PKm 65	PK 65	0,50	0,70	55	50	45,5	40,5	36	31	27	22	17	8					
PKm 70	PK 70	0,60	0,85	65	62	57	52	47	42	37	32	27	18					
PKm 80	PK 80	0,75	1	70	66	61	56	51	46	41	36,5	31	22					
PKm 90	PK 90	0,75	1	90	82	71	60	49	38	27	17	5						
PKm 100	PK 100	1,1	1,5	85	80	75	70	65	60	55	50	45	35	25	15			
PKm 200	PK 200	1,5	2	90	86	81	76	71	65,5	60	55	50	40	30	20	10		
-	PK 300	2,2	3	100	95	90	85	80	75	70	65	60	50	40	30	20	10	

Q = Подача. H = Общий манометрический напор HS = Высота всасывания

Допуск характеристик в зависимости от EN ISO 9906

РАЗМЕРИ И ВЕС



ТИП	ПАТРУБКИ	РОЗМІРИ ММ												КГ		
		DN1	DN2	a	f	h	h1	h2	h3	i	m	n	n1	w		
Однофазний	Трьохфазний															
PKm 60°	PK 60°														5,3	5,3
PKm 65	PK 65			42	245	152	63	75	138						6,9	6,4
PKm 70	PK 70							80	143						10,1	9,0
PKm 80	PK 80			55	285			85	156						10,1	9,0
PKm 90	PK 90	¾"	¾"	58	282			95	166						10,2	9,2
PKm 100	PK 100														14,4	12,4
PKm 200	PK 200	1"	1"	55	350	212	80	94	174						15,5	13,4
-	PK 300														-	15,6

Рисунок 6.3 – Характеристики циркуляційного насосу Pedrollo PKm 60

7 ОХОРОНА ПРАЦІ

7.1 Техніка безпеки при експлуатації вакуумних установок

Вимоги до герметичності вакуумної системи

Перевірка працездатності вакуумної системи і герметичності насоса робиться шляхом випробування на герметичність при розрідженні. Випробування проводити в наступному порядку:

- приєднати до всмоктуючого патрубка насоса послідовний два всмоктуючі рукави (діаметром 125 мм і завдовжки 4 м) і встановити заглушку на вільному кінці другого рукава;
- закрити усі напірні вентилі, зливні краники і відкрити вакуумний кран; - включити вакуумний насос (руків'ям);
- запустити насос, довести його частоту обертання до номінальної (2700 об/хв) і витримати вказаний режим впродовж 40 з, після чого закрити вакуумний кран, відмітити по мановакуумметру рівень розрідження, відключити вакуумний насос і зупинити насос;
- після закінчення 3,5 мін повторно зняти свідчення мановакуумметра і скинути розріження шляхом відкриття зливного краника ступеня нормального тиску.

Якщо падіння розріження за 3,5 міни (різниця двох свідчень мановакуумметра) перевищить 0,0196 МПа (0,2 кгс/см²), це свідчить про наявність нещільності в насосі або комунікаціях, які необхідно усунути. Виявити місця нещільності насоса можна шляхом зовнішнього огляду по наявності витоків води при його роботі або опресуванням насоса стислим повітрям при надмірному тиску не більше 0,1 МПа (1 кгс/см²). Робити опресування слід при закритих напірних вентилях, перед цим необхідно покрити насос і комунікації мильною піною.

Якщо за 40 з роботи вакуумної системи розріження в насосі не досягне

Змн.	Арк.	№ докум.	Підпис	Дата

ХМ 05.00.00.00 ПЗ

Арк.

39

0,074 МПа (0,75 кгс/см²), а падіння розрідження за 3,5 міни не перевищить норму, це свідчить про втрату продуктивності вакуумного насоса. У цьому випадку слід перевірити стан пластинів, гільзи вакуумного насоса, кілець ущільнювачів, наявність мастила, усунути виявлені несправності і повторити перевірку.

7.2 Аналіз шкідливих та небезпечних факторів експлуатації вакуумних установок

Розвиток сучасного машинобудування йде по шляху розробки нових видів теплообмінних апаратів, верстатів, обладнання найрізноманітнішого призначення, інтенсифікації їх використання за рахунок раціональних режимів експлуатації, вдосконалення технології, виробничого процесу і поліпшення профілактичного технічного обслуговування і ремонту. Необхідно, щоб праця людини протікала в сприятливих умовах, що сприяють розвитку всіх його здібностей і забезпечують високу продуктивність праці. Крім того, в процесі праці людина не повинна отримувати травми або хворіти професійними захворюваннями.

При проектуванні обладнання або технологічному процесі конструктором передбачається можливість виникнення потенційних небезпек і шкідливих чинників проектованого обладнання. Так само на стадії конструкторської розробки агрегату розробляються заходи для того, щоб уникнути виникнення небезпек і шкідливих чинників, або, якщо вони виникнуть, запобігти їх.

Конструювання, виготовлення, монтаж, випробування і приймання трубопроводів виробляються відповідно до діючих будівельних норм та правил (СНiП). Трубопроводи, що становлять невід'ємну частину апаратів, приймаються в експлуатацію відповідно до «Правил будови і безпечної експлуатації посудин, що працюють під тиском».

У якості прокладок для з'єднань трубопроводів повинні застосовуватися матеріали, стійкі до впливу вологи, масла, а також температури не менше ніж на 50°C вище температури газу в трубопроводі.

Змн.	Арк.	№ докум.	Підпис	Дата	Арк.	ХМ 05.00.00.00 ПЗ	40

Для ущільнення фланцевих з'єднань ділянок повітропроводів, прокладених в підземних виробках шахт, слід застосовувати прокладки зі спеціальної тепло- і мастилостійкої гуми з температурою зайнання не нижче 350°C. Гумові прокладки повинні бути виготовлені в централізованому порядку і мати відмінне клеймо. Застосування гумових прокладок без клейма забороняється.

Пристрій зовнішніх нагнітальних повітропроводів повинно виключати можливість їх внутрішнього обмерзання. Повинна бути передбачена можливість вільного температурного розширення трубопроводу, що запобігає його деформацію і розлад з'єднань, а також виникнення додаткових зусиль на з'єднані з ним машини або апарати. Трубопровід, прокладений поблизу тепловипромінюючих апаратів, повинен бути теплоізользований.

Трубопроводи повинні бути прокладені від електрокабелів, електропроводів і електроустаткування на відстані не менше 0,5 м.

Повітропроводи повинні укладатися з ухилом 0,003 в бік лінійних, водовідокремлювачів. Повинно бути забезпечено відсутність мертвих зон, де може накопичуватися конденсат або масло.

На окремих ділянках трубопроводів, де можливе скупчення води і масла, повинні встановлюватися лінійні водороздільники з автоматичною або ручною продувкою. Пристосування для продувки повинні бути доступні для обслуговування.

Всі пристрії для видалення нагромаджується в повітропроводі масла і води повинні бути в повній справності і регулярно перевірятися обслуговуючим персоналом. У разі замерзання цих пристрій їх відігрівання дозволяється проводити гарячою водою, парою або гарячим повітрям. Застосування для цієї мети відкритого джерела вогню забороняється.

На повітропроводах не допускається наявність глухих відводів і заглушених штуцерів, що сприяють накопиченню і самозайнання масляних відкладень.

Арматура, яка встановлюється на трубопроводах, повинна бути доступна для зручного і безпечної обслуговування і ремонту.

Змн.	Арк.	№ докум.	Підпис	Дата

ХМ 05.00.00.00 ПЗ

Арк.

41

Апарати і трубопроводи з температурою поверхні вище +45°C, що розташовуються на робочих місцях і в місцях основних проходів, повинні мати теплову ізоляцію. Стінки циліндрів компресора ізоляції не підлягають.

Вентилі, засувки, клапани повинні бути в повній справності і забезпечувати можливість швидкого і надійного припинення доступу повітря або газу.

Арматура повинна бути пронумерована і мати ясно видимі стрілки, що вказують напрямок обертання маховиків, а також стрілки, що позначають «відкрито» і «закрито».

Пробний тиск при гіdraulічному випробуванні трубопроводів повинно витримуватися протягом 5 хв, після чого тиск повинен бути знижений до робочого. При робочому тиску виробляються огляд трубопроводу і обстукування зварних швів молотком вагою не більше 1,5 кг.

Результати випробування вважаються задовільними, якщо під час випробування не відбулося падіння тиску за манометром, а в зварних швах, трубах, корпусах, арматурі і т. п. Не виявлено ознак розриву, протікання і запотівання.

Трубопроводи, прокладені в непрохідних каналах, випробовуються по падінню тиску. Трубопроводи на тиск понад 100 кгс/см² випробовуються відповідно до ПУГ-69.

При мінусових температурах навколошнього середовища гіdraulічні випробування проводяться на гарячій воді з негайним зливом її після випробування.

Записи проведень чистки трубопроводів, поточного огляду і ремонту, а також результати пневматичного і гіdraulічного випробування трубопроводів повинні заноситися в журнал (формуляр) обліку ремонту компресорної установки і повинен складатися акт.

Під час ремонту трубопроводу та його частин, що ремонтуються, повинна бути від'єднана від мережі з обох сторін і очищена від залишків масла, що залишилися.

Змн.	Арк.	№ докум.	Підпис	Дата

ХМ 05.00.00.00 ПЗ

Арк.

42

Після ремонту та очищення необхідно упевнитися в тому, що в трубопроводі не залишилося будь-яких сторонніх предметів.

Шум - це сукупність звуків різної частоти та інтенсивності, що виникає в результаті коливального руху частинок в пружних середовищах (твердих, рідких, газоподібних).

Нормовані параметри шуму на робочих місцях визначені ГОСТ 12.1.003-83 і санітарними нормами СН 2.2.412.1.8.562-96 «Шум на робочих місцях, у приміщеннях житлових, громадських будівель і на території житлової забудови».

Документи дають класифікацію шумів по спектру (на широкосмугові і тональні) і за часовими характеристиками (на постійні і непостійні) [10, 11].

Вібрація - це малі механічні коливання, що виникають в пружних тілах, що знаходиться під впливом змінного фізичного поля.

При підвищенні частот коливань більше 0,7 Гц можливі резонансні коливання в органах людини. Резонанс людського тіла, окремих органів настає під впливом зовнішніх сил при збігу власних частот коливання внутрішніх органів з частотою зовнішніх коливань.

Область резонансу для голови в положенні сидячи при вертикальних вібраціях, розташовується в зоні між 20...30 Гц, при горизонтальних - 1,5...2,0 Гц.

Гігієнічне нормування вібрацій регламентує параметри виробничої вібрації і правила роботи з вібронебезпечним механізмами і обладнанням, ГОСТ 12.1.012-90 «ССБТ. Вібраційна безпека. Загальні вимоги», санітарні норми СН 2.2.412.1.8.556-96 «Виробнича вібрація, вібрація в приміщеннях житлових і громадських будівель» [13, 14].

Документи встановлюють класифікацію вібрацій, методи гігієнічної оцінки, нормовані параметри і їх допустимі значення, режими праці осіб вібронебезпечних професій, що піддаються впливу локальних вібрацій, вимоги до забезпечення вібробезпечного і до вібраційних характеристик машин.

Для зменшення вібрації і шуму передбачаються наступні заходи:

- обмежують окружну швидкість обертання робочих коліс вентиляторів і швидкість руху повітря;

Змн.	Арк.	№ докум.	Підпис	Дата	Арк.	ХМ 05.00.00.00 ПЗ	43

- системи повітропроводів постачають глушниками, повітроводи звукоізолюючі;
- вентилятори, насоси та їх електродвигуни встановлюють на пружні опори або на віброізоляційні фундаменти;
- фундаменти під компресори і їх електродвигуни виконують окремо від фундаментів стін або колон будівлі машинного відділення;
- вхідні та вихідні патрубки вентиляторів (насосів) з'єднують з повітроводами (трубопроводами) за допомогою гнучких вставок.

Виробниче освітлення відповідно до СНіПІІ-4-79 «Природне і штучне освітлення» має забезпечити психологічний комфорт, попереджати зорову і загальну стомлюваність. Освітленість на робочому місці повинна відповідати характеру зорової роботи, який визначається наступними параметрами [15]:

- об'єкт розрізnenня - найменший розмір розглянутого предмета, окрема його частина, дефект, який необхідно розрізнати в процесі роботи;
- фон-поверхня, прилегла безпосередньо до об'єкта розрізnenня, на якій він розглядається. Характеризується коефіцієнтом відображення (при коефіцієнті відбиття поверхні більше 0,4 фон вважається світлим, 0,2 ... 0,4 -середнім і менше 0,2 - темним);
- контраст об'єкта з фоном. Характеризується відношенням яскравості розглянутого об'єкта і фону (контраст об'єкта з фоном вважається великим при значеннях до більш 0,5, середнім при значеннях $k = 0,2 \dots 0,5$ і малим при значеннях до менше 0,2).
- необхідно забезпечити достатньо рівномірний розподіл яскравості на робочій поверхні, а також в межах навколошнього простору. Для підвищення рівномірності природного освітлення великих цехів здійснюється комбіноване освітлення.
- на робочій поверхні повинні бути відсутні різкі тіні. Наявність різких тіней усвідомлює нерівномірність розподілу поверхонь з різною яскравістю в полі зору, спотворює розміри і форми об'єктів розрізnenня, в результаті підвищується стомлюваність, знижується продуктивність праці.

Змн.	Арк.	№ докум.	Підпис	Дата

ХМ 05.00.00.00 ПЗ

Арк.

44

- в полі зору повинна бути відсутнім пряма і відбита близкучість.

Близкучість-підвищена яскравість світяться об'єктів, поверхонь, що викликає порушення зорових функцій (засліплений), тобто погіршення видимості об'єктів.

Видимість характеризує здатність ока сприймати об'єкт, залежить від освітленості, розміру об'єкта, його яскравості, контрасту об'єкта з фоном.

Величина освітленості повинна бути постійна в часі. Коливання освітленості, розміру об'єкта, його яскравості, контрасту об'єкта з фоном.

Коливання освітленості, спричинені різкою зміною напруги в мережі, мають велику амплітуду, кожного разу викликаючи переадаптацію очей, що призводить до значної перевтоми.

Слід вибирати оптимальну спрямованість світлового потоку, що дозволяє в одних випадках розглянути внутрішню поверхню деталей, в інших розрізнати рельєфність елементів робочої поверхні.

Необхідно вибирати певний спектральний склад світла. Правильну передачу кольору забезпечують природне і штучне освітлення з спектральної характеристикою близькою до сонячної.

Всі елементи освітлювальних установок-світильники, групові щитки, що знижують трансформатори, освітлювальні мережі повинні бути досить довговічними, електробезпеки, а також не повинні бути причиною виникнення пожежі або вибуху.

Установка повинна бути зручною і простою в експлуатації, відповідати естетичним вимогам.

Електробезпека - це система організаційних і технічних заходів і засобів, що забезпечують захист людей від шкідливого і небезпечної впливу електричного струму, електричної дуги, електромагнітного поля і статичної електрики.

Будова і розміщення електроприводу насосів і пускової апаратури повинні відповідати вимогам ГОСТ 12.2.007.0-75 і «Правил улаштування електроустановок» [16].

Змн.	Арк.	№ докум.	Підпис	Дата	ХМ 05.00.00.00 ПЗ	Арк.
45						

Забезпечення вакуумних установок пристроями контролю і засобами автоматизації встановлюється технічним завданням на розробку з урахуванням вимог, викладених в цьому стандарті та нормативно-технічної документації з безпеки для виробництва, в якому ці машини застосовуються.

Вакуумні установки повинні бути надійно заземлені. Для приєднання заземлювального пристрою повинні бути передбачені спеціальні болти. Для захисту від статичної електрики повинні бути виконані вимоги «Правил захисту від статичної електрики у виробництвах хімічної, нафтохімічної та нафтопереробної промисловості».

Експлуатація, монтаж, ремонт і налагодження вакуумних установок повинні виконуватися з дотриманням вимог електробезпеки відповідно до «Правил улаштування електроустановок», затверджених Держенергонаглядом і «Правил технічної експлуатації електроустановок споживачів» і «Правил техніки безпеки при експлуатації електроустановок споживачів» [16].

Змн.	Арк.	№ докум.	Підпис	Дата
------	------	----------	--------	------

ХМ 05.00.00.00 ПЗ

Арк.

46

ВИСНОВКИ

Виконавши розрахунок теплонасосної установки на базі рідинно-парового ежектора, можна зробити наступні висновки:

1. Застосування рідинно-парового ежектора у складі теплонасосної установки дає змогу реалізувати принципово новий цикл перетворення енергії з коефіцієнтом перетворення циклу на рівні $COP_{тн} = 3,5$.
2. Використання у якості холодильного агенту води дає змогу значно зменшити витрати на придбання холодильного агенту і на можливу заміну його у процесі роботи установки.
3. Застосування рідинно-парового ежектора у складі теплонасосної установки ускладнює її схему, т. як замість одного спірального компресора додається цілий ряд нових апаратів (сепаратор, теплообмінник-підігрівач, циркуляційний насос і т. д.).

Дана робота є початковим етапом дослідження застосування води у якості холодильного агенту для теплонасосних установок, що використовуються для систем опалення а також впровадження рідинно-парових ежекторів для даних цілей. Її продовженням буде порівняння даної схеми з існуючими на традиційних холодильних агентах (R142b, R245fa, R410a) та проведення термоекономічного розрахунку пропонованої схеми та традиційних.

Змн.	Арк.	№ докум.	Підпис	Дата

ХМ 05.00.00.00 ПЗ

Арк.

47

ПЕРЕЛІК ПОСИЛАЛЬ

1. Арсеньєв В.М. Теплонасосна технологія енергозбереження: навчальний посібник. – Суми: Сумський державний університет, 2011. – 283 с.
2. Арсеньєв В. М., Мелейчук С. С. Теплові насоси: основи теорії і розрахунку : навчальний посібник / В. М. Арсеньєв, С. С. Мелейчук. – Суми : Сумський державний університет, 2018. – 364 с.
3. Маринюк Б. Т. Вакуумно-испарительные холодильные установки, теплообменники и газификаторы техники низких температур. – М.: Энергоатомиздат, 2003. – 208 с.
4. Чумак І. Г., Чепуренко В. П., Лар'яновський С. Ю. Холодильні установки. – Одеса: Пальміра, 2006. – 550 с.
5. Соколов Е.Я., Зингер Н.М. Струйные аппараты. – 3-е издание., перераб. – М.: Энергоатомиздат, 1989. – 352 с.
6. Методичні вказівки до виконання індивідуальної розрахункової роботи «Визначення товщини ізоляції і теплоприпливів через огорожу»/ укладач В. М. Арсеньєв. – Суми: Сумський державний університет, 2013. – 14 с.
7. Свердлов Г.З. Явнель Б.К. Курсовое и дипломное проектирование холодильных установок и систем кондиционирования воздуха. – М.: Пищевая промышленность, 1978. - 264 с.
8. Шарапов С. О. Удосконалення вакуумних агрегатів на базі рідинно-парових ежекторів : дис. канд. техн. наук : 05.05.14 / Сергій Олегович Шарапов. – Одеса, 2017. – 180 с.
9. Варгафтик Н.Б. Справочник по теплофизическим свойствам газов и жидкостей. - М.: Наука, 1972. – 720 с.
10. НПАОП 0.00-1.69-13 "Правила охорони праці під година експлуатації тепломеханічного обладнання електростанцій, теплових ятерів і тепловикористувальних установок".

Змн.	Арк.	№ докум.	Підпис	Дата

ХМ 05.00.00.00 ПЗ

Арк.

48

11. ГОСТ 12.1.003-83 "ССТБ. Шум. Загальні вимоги безпеки".
12. СН 2.2.412.1.8.562-96 "Шум на робочих місцях, в приміщеннях житлових, громадських будівель і на території жилойзастройки".
13. ГОСТ 12.1.012-90 "ССБТ. Вібраційна безпека. Загальні вимоги".
14. СН 2.2.412.1.8.556-96 "Виробнича вібрація, вібрація в приміщеннях житлових і громадських будівель".
15. СНiПi - 4-79 "Природне і штучне освітлення".
16. ГОСТ 12.2.007.0-75 "ССТБ. Вироби електротехнічні".

Змн.	Арк.	№ докум.	Підпис	Дата
------	------	----------	--------	------

ХМ 05.00.00.00 ПЗ

Арк.

49